

Starkniederschlagshöhen und -spenden gemäß KOSTRA-DWD-2010R

Auswertungszeitraum von 1951 - 2010, Januar - Dezember

Rasterfeld: 41041

Zeile: 41

Spalte: 41

Seite: 1/2

| Dauerstufe D | Wiederkehrzeit T | | | | | | | | | | | | | | | | | | |
|--------------|------------------|------|------------|------|------------|------|------------|------|------------|------|------------|------|------------|-------|------------|-------|------------|-------|------------|
| | 1 a | | 2 a | | 3 a | | 5 a | | 10 a | | 20 a | | 30 a | | 50 a | | 100 a | | |
| min | Std | mm | l / (s ha) | mm | l / (s ha) | mm | l / (s ha) | mm | l / (s ha) | mm | l / (s ha) | mm | l / (s ha) | mm | l / (s ha) | mm | l / (s ha) | mm | l / (s ha) |
| 5 | | 5,6 | 186,7 | 7,6 | 253,3 | 8,9 | 296,7 | 10,4 | 346,7 | 12,5 | 416,7 | 14,6 | 486,7 | 15,8 | 526,7 | 17,4 | 580,0 | 19,4 | 646,7 |
| 10 | | 8,7 | 145,0 | 11,4 | 190,0 | 13,0 | 216,7 | 15,0 | 250,0 | 17,6 | 293,3 | 20,3 | 338,3 | 21,9 | 365,0 | 23,9 | 398,3 | 26,6 | 443,3 |
| 15 | | 10,7 | 118,9 | 13,8 | 153,3 | 15,7 | 174,4 | 18,0 | 200,0 | 21,1 | 234,4 | 24,2 | 268,9 | 26,1 | 290,0 | 28,4 | 315,6 | 31,5 | 350,0 |
| 20 | | 12,1 | 100,8 | 15,6 | 130,0 | 17,6 | 146,7 | 20,2 | 168,3 | 23,7 | 197,5 | 27,1 | 225,8 | 29,2 | 243,3 | 31,7 | 264,2 | 35,2 | 293,3 |
| 30 | | 13,9 | 77,2 | 18,0 | 100,0 | 20,3 | 112,8 | 23,3 | 129,4 | 27,3 | 151,7 | 31,4 | 174,4 | 33,7 | 187,2 | 36,7 | 203,9 | 40,8 | 226,7 |
| 45 | | 15,5 | 57,4 | 20,2 | 74,8 | 22,9 | 84,8 | 26,4 | 97,8 | 31,0 | 114,8 | 35,7 | 132,2 | 38,5 | 142,6 | 41,9 | 155,2 | 46,6 | 172,6 |
| 60 | | 16,4 | 45,6 | 21,6 | 60,0 | 24,7 | 68,6 | 28,5 | 79,2 | 33,7 | 93,6 | 38,9 | 108,1 | 42,0 | 116,7 | 45,8 | 127,2 | 51,0 | 141,7 |
| 90 | | 17,8 | 33,0 | 23,5 | 43,5 | 26,7 | 49,4 | 30,9 | 57,2 | 36,5 | 67,6 | 42,1 | 78,0 | 45,4 | 84,1 | 49,6 | 91,9 | 55,2 | 102,2 |
| 120 | 2 | 18,9 | 26,2 | 24,9 | 34,6 | 28,3 | 39,3 | 32,7 | 45,4 | 38,6 | 53,6 | 44,6 | 61,9 | 48,0 | 66,7 | 52,4 | 72,8 | 58,4 | 81,1 |
| 180 | 3 | 20,6 | 19,1 | 27,0 | 25,0 | 30,7 | 28,4 | 35,4 | 32,8 | 41,9 | 38,8 | 48,3 | 44,7 | 52,0 | 48,1 | 56,7 | 52,5 | 63,1 | 58,4 |
| 240 | 4 | 21,8 | 15,1 | 28,6 | 19,9 | 32,6 | 22,6 | 37,5 | 26,0 | 44,3 | 30,8 | 51,1 | 35,5 | 55,0 | 38,2 | 60,0 | 41,7 | 66,8 | 46,4 |
| 360 | 6 | 23,7 | 11,0 | 31,0 | 14,4 | 35,3 | 16,3 | 40,7 | 18,8 | 48,0 | 22,2 | 55,3 | 25,6 | 59,6 | 27,6 | 64,9 | 30,0 | 72,2 | 33,4 |
| 540 | 9 | 25,8 | 8,0 | 33,7 | 10,4 | 38,3 | 11,8 | 44,1 | 13,6 | 52,0 | 16,0 | 59,9 | 18,5 | 64,5 | 19,9 | 70,3 | 21,7 | 78,2 | 24,1 |
| 720 | 12 | 27,4 | 6,3 | 35,7 | 8,3 | 40,6 | 9,4 | 46,7 | 10,8 | 55,0 | 12,7 | 63,3 | 14,7 | 68,2 | 15,8 | 74,3 | 17,2 | 82,7 | 19,1 |
| 1080 | 18 | 29,8 | 4,6 | 38,8 | 6,0 | 44,0 | 6,8 | 50,6 | 7,8 | 59,6 | 9,2 | 68,6 | 10,6 | 73,9 | 11,4 | 80,5 | 12,4 | 89,5 | 13,8 |
| 1440 | 24 | 31,6 | 3,7 | 41,1 | 4,8 | 46,6 | 5,4 | 53,6 | 6,2 | 63,1 | 7,3 | 72,6 | 8,4 | 78,1 | 9,0 | 85,1 | 9,8 | 94,6 | 10,9 |
| 2880 | 48 | 38,9 | 2,3 | 50,0 | 2,9 | 56,5 | 3,3 | 64,7 | 3,7 | 75,8 | 4,4 | 86,9 | 5,0 | 93,4 | 5,4 | 101,6 | 5,9 | 112,7 | 6,5 |
| 4320 | 72 | 44,0 | 1,7 | 56,0 | 2,2 | 63,1 | 2,4 | 72,0 | 2,8 | 84,0 | 3,2 | 96,0 | 3,7 | 103,1 | 4,0 | 112,0 | 4,3 | 124,0 | 4,8 |

Angaben in mm: Bemessungsniederschlagswerte h(n)

Angaben in l / (s ha): Regenspende R(n) mit $R(n) = h(n) \times 1,666667 / D[\text{min}]$

Toleranzbereiche:

+/- 10 % für $1 \text{ a} \leq T \leq 5 \text{ a}$

+/- 15 % für $5 \text{ a} < T \leq 50 \text{ a}$

+/- 20 % für $50 \text{ a} < T \leq 100 \text{ a}$

Datenbasis: KOSTRA-DWD-2010R des Deutschen Wetterdienstes. Die Regenspende wurde auf Basis des Bemessungsniederschlags zur jeweiligen Andauer berechnet.

Für die Richtigkeit und Aktualität der Angaben wird keine Gewähr übernommen. Erstellt 07/2022.

Starkniederschlagshöhen und -spenden gemäß KOSTRA-DWD-2010R

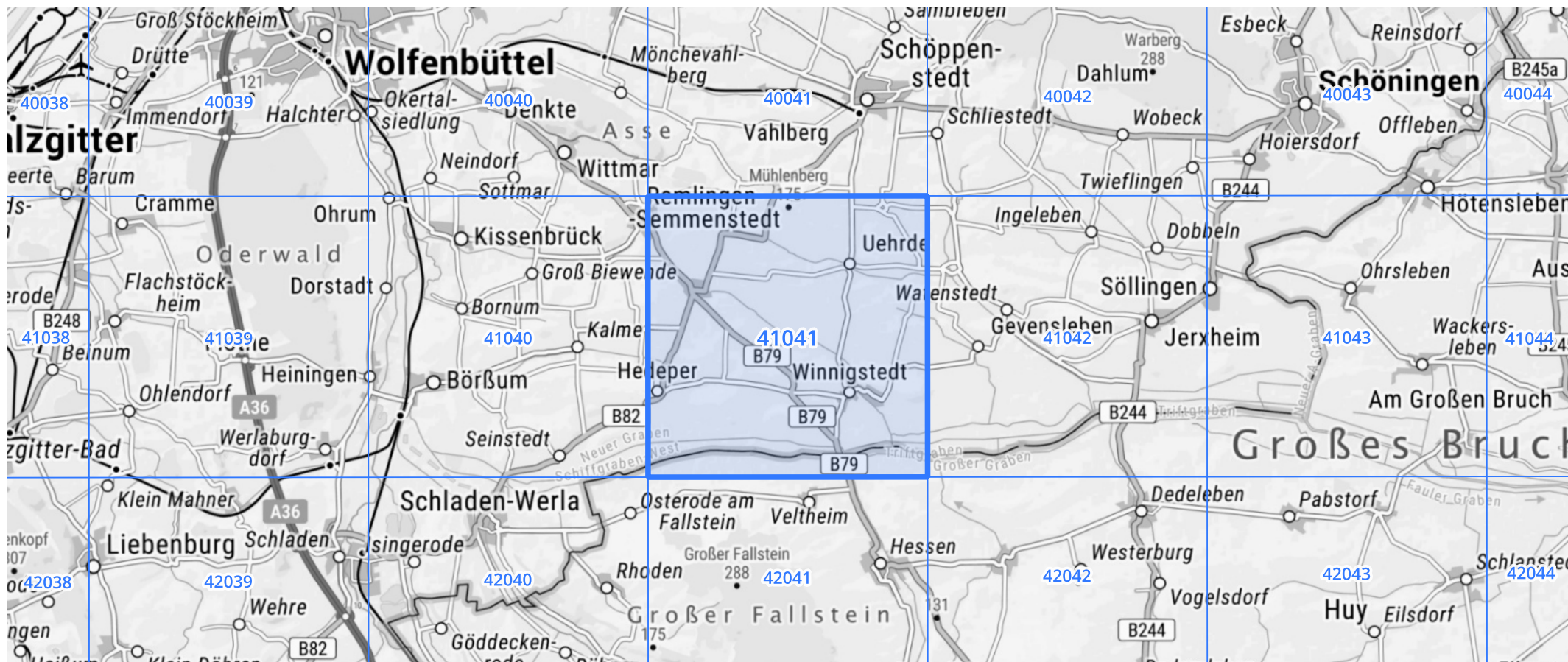
Auswertungszeitraum von 1951 - 2010, Januar - Dezember

Rasterfeld: 41041

Zeile: 41

Spalte: 41

Seite: 2/2



Quelle Rasterdaten: KOSTRA-DWD-2010R des Deutschen Wetterdienstes.

Kartendarstellung: © Bundesamt für Kartographie und Geodäsie (2022), Datenquellen: https://sgx.geodatenzentrum.de/web_public/gdz/datenquellen/Datenquellen_TopPlusOpen.html

Für die Richtigkeit und Aktualität der Angaben wird keine Gewähr übernommen. Erstellt 07/2022.